

吹き寄せに伴う海水の運動に関する研究

京都大学防災研究所 正会員 土屋義人

山下隆男

京都大学 大学院 学生員・岡 扶樹

1. 緒言 ここ十数年、高潮災害は減少する傾向にあるようにみえるが、そのポテンシャルは masih、高まっていると考えられる。また、わが国では人口および社会活動が太平洋に面する湾奥に集中しているため強風による吹き寄せ効果の卓越する湾内高潮に対して最も危険な社会的地域特性を有している。しかも、この種の高潮に対する数値予知には、複雑な境界条件とともに、波浪および吹送流に伴う湾内海水の運動の影響を的確に評価することが予知精度の向上に必須である。そこで波浪および海水の運動特性を高潮の数値予知に十分考慮するために、本研究においては、まず吹き寄せに伴う海水の運動特性を発明しようとするものである。

2. 実験装置および方法 実験には風洞を有する海岸波浪シミュレータを用い、最大吹送距離 L を52.9mとし、各実験装置を図-1に示すごとく設置した。ここに M はマクタ、 $W.G.$ は波高計、 W は風速計、 V は流速分布測定位置を示す。実験は平均水位が一定になった状態を対象とした。流速分布の測定には、水素気泡法を用い、一定時間に多数枚の写真を撮影し平均することにより鉛直方向各点における流速を求めた。また、水位変動の測定には、マクタと low pass filter に接続し周期 10 sec 以上の変動のみ取り出すようにした容量式波高計を用い、風速の測定には小型のプロペラ式風速計を用いた。

3. 実験結果および考察 実験は表1に示す条件で行った。図-2(a)および(b)は定常状態における流速分布の測定結果で、図中1, 2, および3の数字はフィルムからの読み取率を示し、1は80%以上、2は50%~80%、3は50%以下である。図-2(a)に示す Run-1 の流速分布測定の結果において、 U_1 , U_2 , および U_3 は撮影間隔と枚数を変えて平均した結果で、 U_1 は 2 sec 間隔で 3 min 間の合計 90 枚から、 U_2 および U_3 は 10 sec 每に 2 枚ずつ 4 min 間の合計 48 枚から得た結果である。枚数の多い U_1 は当然滑らかな曲線となっているが、三者とも傾向およびオーダーがよく一致していることから Run-2 では 5 sec 間隔で 4 min 間に撮影

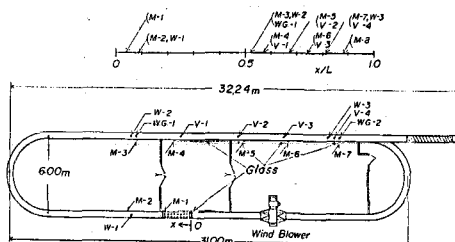


図-1 実験水槽および計測装置の配置図

表1 実験条件

	吹送距離 L (m)	水深 h (cm)	風速 U (m/sec)	水温 T_w (°C)	気温 T_a (°C)	波高 Δt_w (msec)	波周期 Δt_p (sec)
Run 1	52.9	43.88	5.00	5.6	4.1 3.8	0.1	0.87
Run 2	52.9	42.25	6.71	3.8	1.2 7 0.8	0.1	0.76

した 48 枚の写真から平均して求めた。図-2(c)にその結果を示す。図中 $V-1$ ~ $V-4$ は図-1に示す各測定位置において測定した定常状態での流速分布であり、その場所的変化を表している。この図からわかるように、各点での流速の分布形は非常によく似ているが、 $V-1$ および $V-4$ と $V-2$ および $V-3$ での値にはかなりの相違がある。これは後述するような湾水運動の影響であると考えられる。ここでは底面の都合上 図面を割愛したが、水槽内の平均水位は送風開始直後、Run-1 で約 0.6 mm, Run-2 で約 1.4 mm の振幅で、その周期が約 52 sec の振動をし、これは時間とともに減衰し約 60 min 後には消滅してしまう。しかし、その後も微妙な力の釣合の崩れから起る、振幅 0.2 mm

程度の薄水振動が偶發的に生じ、これが流速分布に影響を及ぼしているものと考えられる。また図-2の(a)と(b)との比較から、風速が大きくなるにつれ、流速の負の成分は鉛直方向に一様になる傾向にあることがわかる。

4. 流速分布に関する理論および実験結果との比較 吹送流の流速分布に関する理論的研究としては、Reid(1957)の研究があるが、彼らは風波の影響を粗度として考慮しているだけであるため、ここでは風波による運動量の流体内部への伝播の効果を考慮して、零流状態を仮定し、混合距離の表示として

$$l = \kappa(z + z_0)(\tau - 8) + \gamma H \sinh(\beta z) / (\beta \sinh \beta z) \quad \text{--- (1)}$$

をとえ、運動量輸送理論には次式を解くことにした。

$$\tau_b + (z_s - z_b)z/h = \rho U^2 |d\bar{U}/dz| (dU/dz) \quad \text{--- (2)}$$

ここに、水底を原点として鉛直上向きにz軸をとり、H: 波高, τ : 波数, ρ : 水深, τ_b : 底面に作用するせん断応力, z_s : 水面でのせん断応力, \bar{U} : 位置zにおける水平方向の平均流速, z_b : 底面での粗さを示すパラメータ, κ : Kármán定数、および γ : 波の影響を示す定数である。図-3はその結果であるが、図中 $\beta = z_0/h$, $U_* = \sqrt{2g/H}$ である。これから明らかなように、風波の影響が大きくなるにつれて、水面付近での流速の勾配はゆるやかになるが、Reidの結果とよく似ている。

また、図-4は著者らの実験結果、BainesおよびKnappの実験結果と前述した理論結果とを比較したもので、これから次のことがわかる。

0.4 < δ_0/h < 0.7 の領域において、両実験結果はよく一致するが、0 < δ_0/h < 0.4 では Baines および Knapp の実験結果は両理論結果と一致し、著者らの実験結果とかなり相違している。これは、著者らの実験では、吹送距離が長く、風波の影響が大きい場合を対象としているのに対し、Baines および Knapp の場合は、風波の影響が比較的小さいうえ、水槽の半分に渡って設置されていて傾斜床でのもどり流れの影響が残っているためではないかと考えられる。しかし、その影響がどの程度であるかは明らかでない。

5. 結語 以上の結果から、風波の影響が大きい場合の吹送流の流速分布は、Reidの理論や混合距離に風波の影響を考慮した著者らの理論とはあまり一致せず、戻り流れはほぼ全断面で一様になり、強い前向きの流れと明確に区別されることがわかった。今後、理論結果と実験結果の相違する原因を明らかにし、波浪の影響を考慮した吹送流の流速分布特性を検討する必要がある。

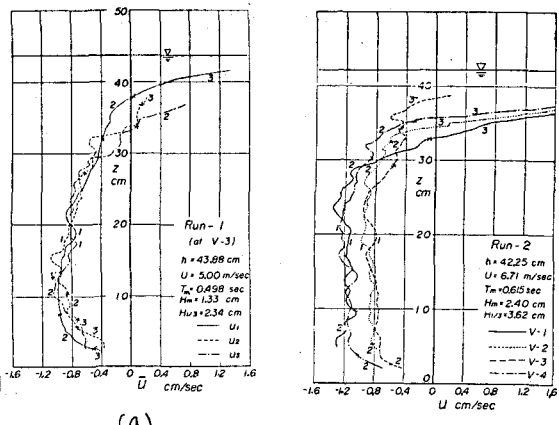


図-2 定常状態における吹送流の流速分布

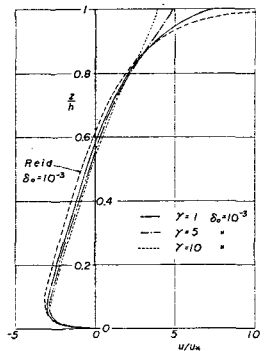


図-3 吹送流の流速分布の理論曲線

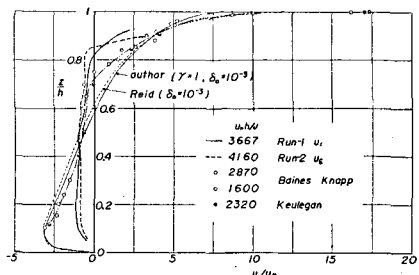


図-4 吹送流の流速分布の理論曲線と実験結果との比較